

تعیین خواص مکانیکی سلول انقباضی قلبی با استفاده از میکروسکوپ نیروی اتمی و روابط تحلیلی

آناهیتا احمدی صوفیوند^۱، دکتر مهدی نویدبخش^۲، دکتر مسعود سلیمانی^۳

مقاله پژوهشی

چکیده

مقدمه: سلول انقباضی قلبی با انقباض خود، حرکت پمپی قلب را ایجاد می‌کند و هر گونه مشکلی در این حرکت قلب به این سلول‌ها مرتبط است و در نتیجه، بررسی خواص این سلول از اهمیت زیادی برخوردار است. در یک دیدگاه با در نظر گرفتن سلول قلبی به عنوان یک جسم همگن با خواص الاستیک خطی، با تعیین مدول الاستیسیته (Elastic modulus) سلول، می‌توان آن را به صورت تحلیلی مدل‌سازی مکانیکی کرد. برای یافتن مدول الاستیسیته‌ی سلول با استفاده از روابط تحلیلی موجود، نیاز به داده‌های تجربی است.

روش‌ها: در این مطالعه با استفاده از میکروسکوپ نیروی اتمی (Atomic force microscopy)، داده‌های تجربی مطلوب از سلول‌های قلبی موش گرفته شد. سپس با استفاده از روابط مکانیک تماس (Contact mechanics) موجود برای این روش تجربی، مدول الاستیسیته‌ی سلول از دو روش به دست آمد و مورد تحلیل و بررسی قرار گرفت.

یافته‌ها: به وسیله‌ی دو روش موجود، مقادیر مدول الاستیسیته، $2/26 \pm 2/56$ و $48/0.8 \pm 55/67$ کیلوپاسکال به دست آمد. بررسی روند تغییرات مدول الاستیسیته با عمق فرورفتگی نشان داد که سلول خواص الاستیک غیر خطی دارد.

نتیجه‌گیری: با هر دو روش ارایه شده، نتایج مشابهی برای مقدار مدول الاستیسیته‌ی سلول انقباضی قلبی به دست آمد. همچنین مدل خطی Hertz برای پیش‌بینی اولیه‌ی خواص مکانیکی سلول انقباضی قلبی مناسب است و برای تعیین دقیق‌تر و جامع‌تر این خواص، بهتر است از مدل‌های غیر خطی استفاده شود.

وازگان کلیدی: سلول انقباضی قلبی، میکروسکوپ نیروی اتمی، مکانیک تماس، مدول الاستیسیته

ارجاع: احمدی صوفیوند آناهیتا، نویدبخش مهدی، سلیمانی مسعود. تعیین خواص مکانیکی سلول انقباضی قلبی با استفاده از میکروسکوپ نیروی اتمی و روابط تحلیلی. مجله دانشکده پزشکی اصفهان ۱۳۹۳؛ ۳۲ (۲۹۰): ۹۵۶-۹۴۷.

لایه‌چینی بافت قلبی از دیدگاه علوم پزشکی به گونه‌ای است که پس از انقباض قلب، این زوایای فیبرها باعث می‌شود که خون به شکل بهینه‌ای، با صرف انرژی کمتر از قلب خارج شود. از این رو، با تعیین خواص سلول، می‌توان به طور دقیقی این

مقدمه

در مدل‌سازی قلب و بافت پیچیده‌ی آن، به علت ناهمگون بودن بافت آن که به دلیل لایه‌چینی زاویه‌دار فیبرهای ماهیچه‌ای قلب است، نیاز به تعیین دقیق خواص سلول تشکیل دهنده‌ی آن وجود دارد.

۱- کارشناس ارشد، گروه بیومکانیک، دانشکده مکانیک، دانشگاه علم و صنعت ایران، تهران، ایران

۲- دانشیار، گروه بیومکانیک، دانشکده مکانیک، دانشگاه علم و صنعت ایران، تهران، ایران

۳- دانشیار، گروه خون‌شناسی، دانشکده پزشکی، دانشگاه تربیت مدرس، تهران، ایران

نویسنده‌ی مسؤول: آناهیتا احمدی صوفیوند

Email: anahita.a.soufivand@gmail.com

خطی به کل داده‌ها، که شبی آن نشان دهنده‌ی مدول است، این محاسبات صورت گرفته است. مدول الاستیسیته در این مطالعه در حدود 35 kPa برای سلول‌های جوان گزارش شده است (۱۰).

در این مطالعه، تعیین مشخصات مکانیکی سلول قلبی موش به منظور بررسی دقیق‌تر این سلول با انجام آزمایش‌های علمی صورت گرفته است.

روش‌ها

این تحقیق بر روی موش سفید (ثزاد NMRI) با سن حدود ۸-۱۲ هفته‌ای انجام شد. پس از جداسازی سلول‌ها، ابتدا سلول‌ها در ظرفی ریخته شدند و ظرف محتوی آن، به وسیله‌ی نوعی نمک (Phosphate buffered saline) شستشو داده شد. سپس ماده‌ی فیکس کننده (Glutaraldehyde) 0.5% درصد به مدت ۱ دقیقه روی سلول‌ها قرار گرفت. پس از آن، سلول‌ها سه بار و هر بار به مدت ۵ دقیقه، با نمک شستشو داده شدند. پس از خشک شدن ظرف حاوی سلول (Petri dish)، سلول‌ها برای استفاده درون دستگاه قرار گرفتند.

دستگاه مورد استفاده در این مطالعه، از دستگاه‌های مرکز تحقیقات مهندسی بافت بیمارستان طالقانی و ساخت کشور دانمارک بود. شکل ۱ این دستگاه و تجهیزات مربوط به آن را در شرایط کاری نشان می‌دهد.

آزمایش در مود تماس و با پروب هرمی کند شده با مشخصات زیر صورت گرفت:

- میله (Cantilever): مستطیلی با طول $445-455 \mu\text{m}$ ، پهنای $45-55 \mu\text{m}$ و ضخامت $1.5-2.5 \mu\text{m}$

لایه‌چینی را مدل‌سازی کرد (۱). همچنین از دیدگاه‌های مهندسی بافت و آسیب‌شناسی هم شناخت خواص این سلول اهمیت پیدا می‌کند.

در شناخت خواص سلول از روش‌های آزمایشگاهی مختلفی می‌توان استفاده کرد. از انواع این روش‌ها می‌توان به مکش میکروسکوپیت، میکروسکوپ نیروی اتمی، فشار تک محوره، کشش و خمش اشاره کرد (۲-۳). در مطالعات صورت گرفته بر روی سلول قلبی، اغلب از میکروسکوپ نیروی اتمی استفاده شده است (۴). در این روش که به وسیله‌ی دستگاهی خاص، نیرو بر بافت سلولی وارد می‌شود، با توجه به پاسخ گرفته شده از دستگاه ناشی از تغییر فرم در بافت توسط عضو وارد کننده‌ی نیرو، می‌توان به تعیین رفتار مکانیکی سلول نزدیک شد (۵-۸).

در تحلیل داده‌های میکروسکوپ نیروی اتمی، به مدلی مناسب که در حوزه‌ی مکانیک سلولی تعریف شده، نیاز است. ساده‌ترین مدل، مدل Hertz است که سلول را به صورت جسم همگنی که خواص الاستیک خطی از خود نشان می‌دهد، در نظر می‌گیرد (۹-۱۱).

در مطالعات قبلی که به شناخت سلول قلبی پرداخته شده است، مدول الاستیسیته به وسیله‌ی مدل Hertz از دو روش محاسبه شده است. در روش اول، Mathur و همکاران مدول الاستیسیته‌ی سلول قلبی خرگوش را در هر عمق نمونه‌برداری تعیین کرده‌اند و مدول الاستیسیته‌ی در حدود 100 kPa را اعلام کرده‌اند (۹).

در مطالعه‌ی دیگر که توسط Lieber و همکاران انجام شده است، یک مدول الاستیسیته‌ی کلی به سلول قلبی موش صحرایی نسبت داده‌اند. با برآش

- خطی در نظر گرفته شده است.
- سلول به صورت یک جسم نیمه بی‌نهایت است.
- نسبت ابعاد نمونه به ابعاد عضو وارد کننده‌ی نیرو بیش از ۱۵ برابر باید باشد.

با توجه به نوع شکل نوک پروب، روابط این مدل فرق می‌کند. از انواع پروب می‌توان به موارد زیر اشاره کرد:

- کروی
- مخروطی
- مخروطی کند شده (Blunted)
- هرمی
- هرمی کند شده

پروب کروی

رابطه‌ی ۱ مدل Hertz مورد استفاده با پروب کروی را نشان می‌دهد:

$$F = \frac{4}{3} \sqrt{RE\delta}^{3/2} \quad (1)$$

فرمول کلی مورد استفاده در مدل Hertz برای دو نوع پروب مخروطی تیز و کند شده، به صورت رابطه‌ی ۲ بیان شده است:

$$F = kd = \pi E \varphi(\delta) / (1 - \theta^2) \quad (2)$$

که با توجه به شکل پروب، معادلات مختلفی برای پارامتر φ ارایه شده است.

پروب مخروطی

اگر پروب مخروطی کامل فرض شود، رابطه‌ی زیر با توجه به رابطه‌ی ۳ در مورد آن صادق است:

$$\varphi(\delta) = \delta^2 [2\tan(\alpha)/\pi] \quad (3)$$

پروب مخروطی با نوک کند شده

اگر فرض واقعی‌تر کند شدگی در نظر گرفته شود، رابطه‌ی ۴ مورد استفاده قرار می‌گیرد:

- نوک پروب (Probe tip): هرمی با ارتفاع ۱۰-۱۵ μm و شعاع انحنای کمتر از ۱۰ nm
- ضریب نیرو (Spring constant): $0.07-0.40 \text{ N/m}$



شکل ۱. میکروسکوپ نیروی اتمی و تجهیزات آن

روش انجام آزمایش به این صورت بود که ابتدا ظرف حاوی سلول در جای مخصوص خود قرار داده شد. با استفاده از میکروسکوپ و مانیتور موجود، بررسی دقیقی صورت گرفت تا سلول‌های مناسبی انتخاب شوند. انتخاب سلول‌ها ابتدا با توجه به شکل ظاهری آن‌ها بود و پس از تصویربرداری، به تشخیص کاربر دستگاه، اگر سلول از لحاظ سالم بودن تأیید می‌شد، آزمایش بر روی سلول انجام می‌گرفت.

با توجه به این که تعداد داده‌های آزمایشی حداقل باید سه عدد باشد، بر روی سه عدد سلول آزمایش انجام گرفت و برای این که اثرات محلی بر روی تعیین مدول دیده شود، در راستای محور طولی هر سلول، سه نقطه برای داده‌برداری انتخاب شد.

ساده‌ترین مدل که در مطالعات قبلی سلول انقباضی قلبی مورد استفاده قرار گرفته است، مدل Hertz است. در این مدل فرضیاتی در نظر گرفته شده است:

- سلول به صورت یک ماده‌ی همگن و الستیک

تغییر فرم ایجاد می‌کنند که در این جا با توجه به مشاهده‌ی رفتار سلول، تنها حالت غیر چسبندگی مورد بررسی قرار گرفته است.

هنگامی که سلول غیر چسبند است، از رابطه‌ی ۷ می‌توان برای محاسبه‌ی تغییر فرم سلول استفاده نمود:

$$\delta = (Z - Z_0) - (d - d_0) \quad (7)$$

که مقادیر Z_0 و d_0 به ترتیب موقعیت ارتفاع و انحنای میله‌ی پروب در نقطه‌ی تماس هستند که با رسم نمودار آن، می‌توان به این مقادیر دست یافت. برای محاسبه‌ی نیروی ایجاد شده در نوک پروب، از فرمول ۸ استفاده می‌شود:

$$F = k(d - d_0) \quad (8)$$

که ضریب فنری بودن میله‌ی پروب است که در هر آزمایش سلول، در مشخصات آزمون نرمافزار مشخص شده است.

با استفاده از روابط ۷ و ۸ می‌توان نمودار نیرو-عمق فرورفتگی را رسم نمود. با رسم این نمودار و با داشتن این داده‌ها می‌توان خصوصیات مکانیکی سلول را تعیین نمود.

ابتدا باید به این نکته توجه نمود که اگر نمودارهای رفت و برگشت نیرو-عمق فرورفتگی به طور تقریبی بر یک مسیر قرار بگیرند، می‌توان گفت که سلول رفتار هیسترزیس از خود نشان نداده است و اتلاف انرژی به علت خصوصیات ویسکوز در آن وجود ندارد. اما اگر مسیر رفت و برگشت بر هم منطبق نباشد، سطح بین دو مسیر، مقدار اتلاف انرژی خواهد بود و با استفاده از روابط موجود، می‌توان آن را محاسبه کرد که به علت عدم نیاز، از آوردن روابط آن خودداری شده است.

علاوه بر هیسترزیس، باید به این مسئله توجه

$$\varphi(\delta) = \frac{2}{\pi} (a\delta - \frac{a^2}{2\tan(\alpha)}) [\frac{\pi}{2} - \arcsin(\frac{b}{a})] - \frac{a^3}{3R} + (a^2 - b^2)^{\frac{1}{2}} [\frac{b}{2\tan(\alpha)} + \frac{a^2 - b^2}{3R}] \quad (4)$$

که E مدول الاستیسیته، θ ضریب پواسون، δ عمق فرورفتگی، α زاویه‌ی بازشدگی مخروط پروب، a شعاع تماس و R شعاع کند شدگی نوک پروب است. b نیز پارامتری است که از رابطه‌ی $b = R\cos\alpha$ ، به دست می‌آید. در واقع در این نقطه، پروفیل‌های کروی و مخروطی پروب به هم متصل می‌شوند و فرض بر این است که این پروفیل‌ها در این نقطه برابر مماسند.

پروب هرمی

در پروب هرمی و هرمی کند شده، روابط مانند روابط پروب مخروطی و مخروطی کند شده است، با این تفاوت که ضرایب ترم‌ها فرق می‌کند.

با توضیحات پیش‌گفته و رابطه‌ی ۲ می‌توان گفت:

$$\varphi(\delta) = \delta^2 [2\tan(\alpha)/\sqrt{2\pi}] \quad (5)$$

پروب هرمی کند شده

با فرض کند شدگی، رابطه‌ی ۶ استفاده می‌شود (۱۱):

$$\varphi(\delta) = \frac{2}{\pi} (a\delta - \frac{\sqrt{2}a^2}{\pi\tan(\alpha)}) [\frac{\pi}{2} - \arcsin(\frac{b}{a})] - \frac{a^3}{3R} + (a^2 - b^2)^{\frac{1}{2}} [\frac{\sqrt{2}b}{\pi\tan(\alpha)} + \frac{a^2 - b^2}{3R}] \quad (6)$$

وقتی که داده‌های خام سلول مورد بررسی قرار می‌گیرد، می‌توان به چسبنده یا غیر چسبندگی بودن آن پی برد. اغلب چسبندگی در نمودار بازگشت پروب و به صورت انحنای منفی دیده می‌شود. در واقع در این حالت، سلول به نوک پروب می‌چسبد و آن را در خلاف جهت خمیدگی پروب به سمت خود می‌کشد. در غیر این صورت، چسبندگی وجود ندارد. هر یک از این حالت‌ها، شرایط خاصی را در محاسبات نیرو-

شعاع تماس در پروب هرمی با نوک کند شده از رابطه‌ی ۹ به دست می‌آید:

$$\delta - \frac{a}{\tan \theta} \frac{\frac{3}{2^2}}{\pi} \left(\frac{\pi}{2} - \arcsin \frac{b}{a} \right) + \frac{a}{R_c} [(a^2 - b^2)^{1/2} - a] = 0 \quad (9)$$

با توجه به فرمول ۹، چون این معادله از روش‌های رایج حل معادلات قبل حل نیست، از روش نصف کردن (Bisection) که به صورت برنامه‌نویسی در نرم‌افزار MATLAB نوشته شده است، استفاده شد.

یافته‌ها

با توجه به داده‌های آزمایشگاهی سلول قلبی که در مطالعه‌ی حاضر جمع‌آوری شد، این سلول رفتار هیستریزیس از خود نشان نداد و این از آن جا مشخص است که داده‌های آزمایشگاهی در حالت‌های بارگذاری (Indentation) و باربرداری (Retraction)، به طور تقریبی بر هم منطبق شدند و در نتیجه، سلول رفتار الاستیک از خود نشان داد و اثرات ویسکوز (Viscose) در آن دیده نشد. در شکل ۲ این مسئله مشخص شده است.

شکل ۲، با نتایج مطالعات قبلی متفاوت بود. با این که این آزمایش‌ها به علت محدودیت دستگاه، با سرعت $10 \mu\text{m/s}$ گرفته شده‌اند و در سرعت بالاتر از $6 \mu\text{m/s}$ ، در سلول قلبی موش صحرایی اثر هیستریزیس (Hysteresis) قابل توجه بوده است، اما در این نتایج اثر هیستریزیس مشاهده نشد و سلول خواص ویسکوالاستیک (Viscoelastic) از خود نشان نداد.

در شکل ۲ مشخص است که سلول رفتار

نمود که مدل‌های مکانیک تماس، بر اساس روابط نیرو- عمق فرورفتگی و پارامترهای رفتار ماده، ارایه شده‌اند و این مسئله اهمیت به دست آوردن داده‌های نیرو- عمق فرورفتگی را نشان می‌دهد.

با استفاده از داده‌های نیرو- عمق فرورفتگی، پارامترهای ماده‌ی سلول به دست آمده است. ابتدا به عنوان ساده‌ترین حالت، مدل Hertz مورد استفاده قرار گرفت. دو ناحیه در نظر گرفته می‌شود، برای قسمت تا محدوده‌ی نوک کند شده‌ی کروی پروب، از روابط پروب کروی استفاده می‌شود. سپس در ناحیه‌ای که قسمت هرمی پروب شروع می‌شود، از روابط پروب هرمی کند شده استفاده شده است. فرض می‌شود که سر کروی نوک پروب، بر اصلاح هرم مماس شده است و سلول به پروب چسبیده است. در این حالت، شعاع تماس برابر با مقدار b ذکر شده در روابط مربوط به پروب خواهد بود.

مدول الاستیسیته از دو روش زیر می‌تواند به دست آید:

- با استفاده از فرمول ۶، مدول در هر عمق فرورفتگی به دست آید.

- نمودار نیرو- ضریب مدول الاستیسیته در یک نمودار رسم شود و یک مدول الاستیسیته به وسیله‌ی شبی خطی که به این نمودار برازش می‌شود، تعیین گردد.

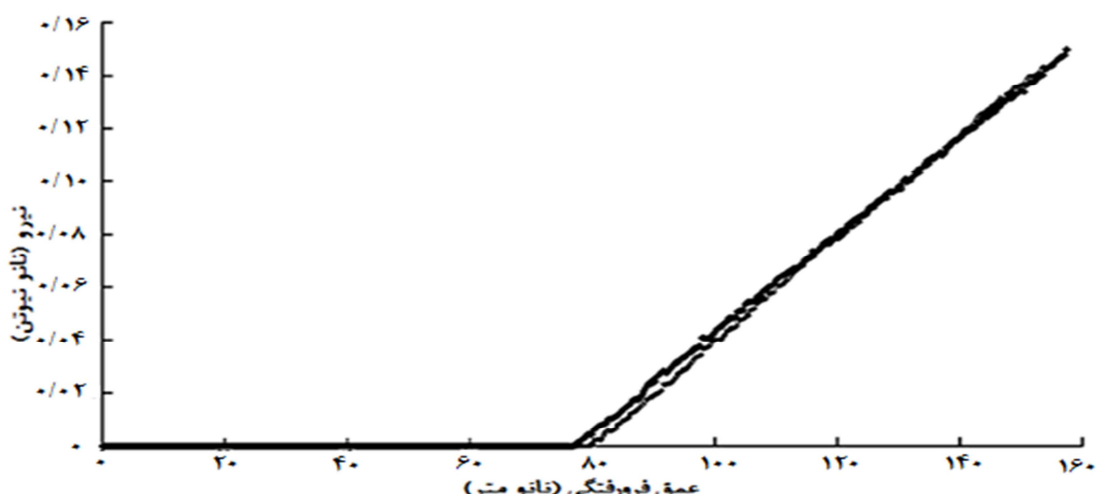
تفاوت روش‌های پیش‌گفته در این است که روش اول تغییرات مدول الاستیسیته را نشان می‌دهد؛ اما در روش دوم، یک مدول مشخص به کل داده‌ها نسبت داده می‌شود.

در این محاسبات، نیاز به مقدار شعاع تماس است.

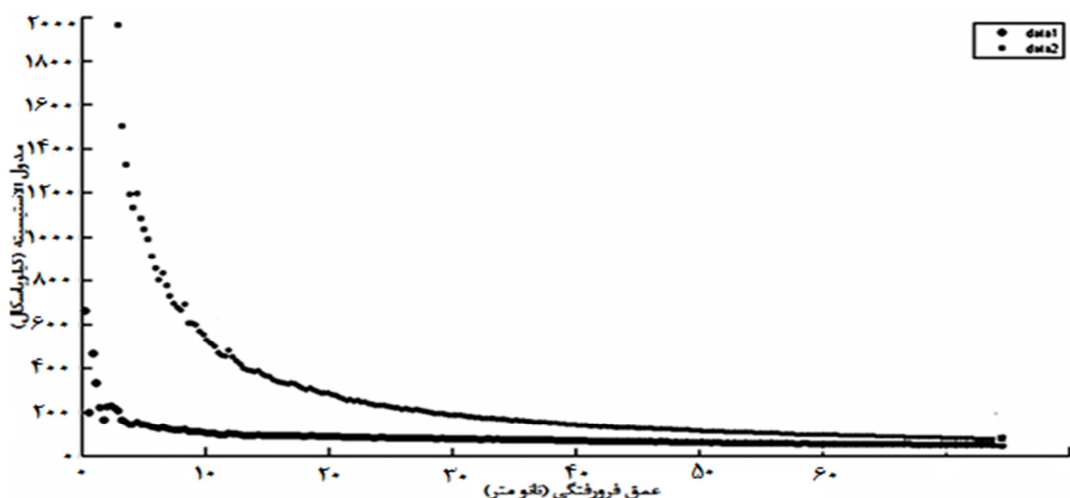
هرمی که بدون کند شدگی هم محاسبه شده، نشان داده شده است. این شکل نشان می‌دهد که فرض کند شدگی، رفتار الاستیک سلول را بهتر نشان می‌دهد و در عمق‌های کم نیز مدل مناسب‌تری به نظر می‌رسد و در این مدل، مدول الاستیسیته در عمق‌های مختلف مقدار به نسبت ثابتی است و با فرض الاستیک بودن سلول، همخوانی بیشتری دارد و به این علت، این مدل دقت بالاتری در توصیف رفتار سلول با مدل Hertz دارد.

چسبندهای (Adherence) از خود نشان نداده است و در هیچ جای نمودار نیرو- عمق فرورفتگی بالا، نیرو منفی نشده است که بیانگر رفتار چسبندگی سلول باشد. اما در مطالعه‌ی قبلی که بر روی خرگوش انجام شده است، در سرعت $1 \mu\text{m/s}$ و بیشتر رفتار چسبندگی از سلول دیده شده است.

در شکل ۳ مقدار مدول الاستیسیته در هر عمق فرورفتگی در طی انجام نمونه‌برداری برای سلول اول و در یک نقطه از آن و یک بار دیگر با فرض پرورب



شکل ۲. مقادیر نیرو- موقعیت مکان فرورفتگی در حالت بارگذاری و باربرداری



شکل ۳. مدول الاستیسیته‌ی سلول آزمایش شده با پرورب هرمی در حالت کند شدگی و بدون کند شدگی

از قلب موش تهیه شده بود؛ در حالی که در مطالعه‌ی قبل، از قلب خرگوش سلول تهیه شده است. مقدار مدول در محدوده‌ی کمتر از 100 kPa است که سلول قلبی موش را در محدوده‌ی مواد نرم قرار می‌دهد.

اگر در فرمول Hertz، نیرو را بر حسب مقدار ضریب مدول الاستیسیته (Gamma) با توجه به فرمول ۲ و ۶ محاسبه کنیم و به این داده‌ها خطی نسبت دهیم، شبیه این خط، مدول الاستیسیته‌ی سلول خواهد شد. در شکل ۵، این خط و داده‌های آزمایشگاهی، نشان داده شده‌اند.

مقدار مدول الاستیسیته با این روش که برابر است با شبیه خط شکل ۵، در محدوده‌ی $0/91 - 0/94$ و ضرایب همبستگی $50/34 - 58/97 \text{ kPa}$ تغییر می‌کند. مقدار میانگین مدول الاستیسیته تغییرات سن موش، برای موش جوان 35 kPa و برای موش مسن $55/67 \pm 2/56 \text{ kPa}$ به دست آمده است.

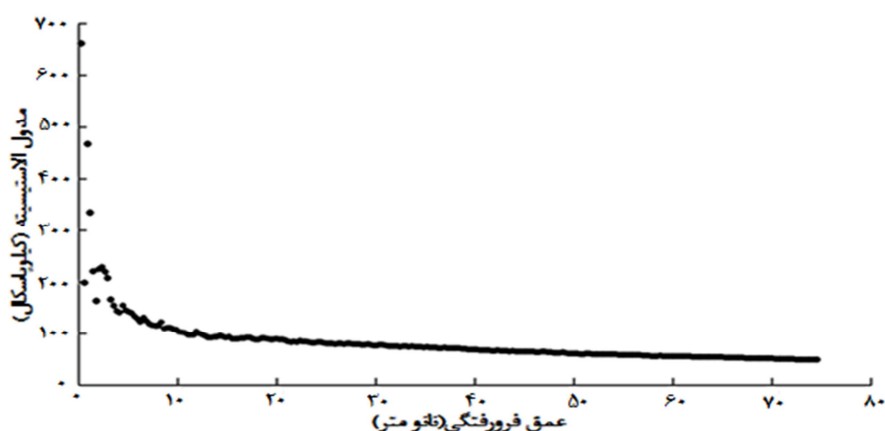
این مقدار نزدیک به مقادیری است که در مطالعه‌ی قبلی برای موش صحرایی با این روش به دست آمده است. در آن جا مدول الاستیسیته با تغییرات سن موش، برای موش جوان 42 kPa و برای موش مسن 42 kPa به دست آمده است.

این نمودار مشابه مطالعه‌ی قبلی در این زمینه است و روند تغییرات آن‌ها به طور کامل مشابه است. مطابق با گفته‌های پیشین اضافه کردن فرض کند شدگی، نتایج بهتری را نشان می‌دهد.

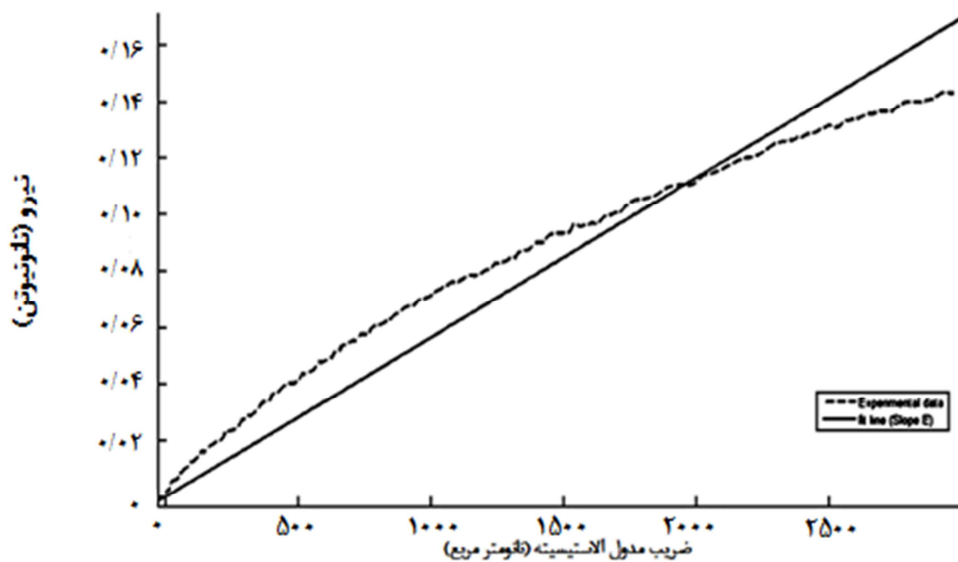
شکل ۴ مقدار مدول در هر عمق نمونه‌برداری برای یک سلول در یک نقطه از آن را نشان می‌دهد. بر اساس این شکل، مقادیر مدول به سمت مقادیر به نسبت ثابتی می‌رسند. این مقادیر در محدوده‌ی $43/47 - 51/13 \text{ kPa}$ هستند و به طور میانگین در این حالت مدول الاستیسیته، $48/0.8 \pm 2/26 \text{ kPa}$ شده است.

توضیحات پیش گفته مشابه نتایج مطالعات قبلی است که مدول الاستیسیته‌ی سلول قلبی با تغییر محل فرورفتگی، تغییر چندانی نمی‌کند و مقادیر و روند مشابهی که در شکل مشاهده می‌شود، هم دقت خوب دستگاه را نشان می‌دهد و هم بیانگر عدم وابستگی مدول سلول به محل نمونه‌برداری است.

مقدار مدول الاستیسیته‌ی این مطالعه، با مقدار مطالعه‌ی قبلی که با این شیوه مدول را محاسبه کرده بود (100 kPa)، متفاوت است و این به علت متفاوت بودن منشأ تهیه‌ی سلول است. در این مطالعه، سلول



شکل ۴. مدول الاستیسیته‌ی سلول طی نمونه‌برداری در عمق‌های مختلف فرورفتگی



شکل ۵. داده‌های آزمایشگاهی خط چین نیرو- ضریب مدول الاستیسیته. شب خط برآش شده برابر با مدول الاستیسیته کلی سلول است

ویسکوز از خود نشان نمی‌دهد. با این که سرعت فرورفتگی زیاد بوده است، این مسئله نشان می‌دهد که سلول قلبی موش، رفتار ویسکوالاستیک از خود نشان نمی‌دهد. همچنین سلول رفتار چسبندگی از خود نشان نمی‌دهد و نیروی واردہ از نوک پرورب به سلول، هیچ گاه منفی نشده است.

از بررسی نمودار نیرو- عمق فرورفتگی رفتار جالبی از این سلول مشاهده شد. تغییرات نیرو با عمق، تغییرات خطی داشته است و می‌توان یک ضریب فنری بودن ظاهری برای سلول تعريف کرد. در واقع، می‌توان سلول را با فنری مدل کرد که با وارد کردن نیروی پرورب، تغییرات عمق سلول با این ضریب فنری بودن ظاهری صورت می‌گیرد.

با استفاده از مدل Hertz، مدول الاستیسیته به دو روش محاسبه شد و با کمی تفاوت، نتایج مشابهی به دست آمد. این نتایج با نتایج مطالعات قبلی مقایسه شد و رفتاری مشابه با آنچه در آن مطالعات وجود

بحث

نتایج نشان دادند که پرورب با سر کند شده، نتایج بهتری را به دست می‌دهد و فرض کند شدگی، فرض معقول و منطقی به نظر می‌رسد؛ زیرا که هیچ پروربی در واقعیت بدون کند شدگی و تیز نیست و همواره می‌توان به نوک پرورب، کره‌ای نسبت داد و از این شعاع برای استفاده از روابط مدل Hertz با فرض کند شدگی استفاده نمود.

داده‌های آزمایشگاهی همبستگی مناسبی را نشان دادند و این مسئله نشان می‌دهد که خواص سلول در نقاط مختلف آن که اندازه‌گیری صورت گرفته است، با هم تفاوت چندانی ندارند و سلول بدون توجه به مکان اندازه‌گیری و نمونه‌برداری، رفتار یکسانی از خود نشان می‌دهد.

با بررسی داده‌های به دست آمده از انجام آزمایش سلولی میکروسکوپ نیروی اتمی، می‌توان نتیجه گرفت که سلول اتلاف هیسترزیس به علت خواص

تشکر و قدردانی

از گروه مکانیک دانشگاه علم و صنعت که در انجام آزمایش سلولی، این مطالعه را مورد حمایت مالی قرار دادند، سپاسگزاری می‌شود. همچنین از کارکنان مرکز مهندسی بافت بیمارستان طالقانی که با همکاری خود باعث شدند آزمایش سلولی در شرایط مناسبی انجام پذیرد، قدردانی می‌گردد.

داشت، در مطالعه‌ی حاضر مشاهده شد. از نظر روند تغییرات مدول الاستیسیته با عمق فرورفتگی، نتایج به طور کامل مشابه کار قبلی بود و سلول رفتار الاستیک غیر خطی از خود نشان داد (۹). از نظر مدول الاستیسیته ی کلی هم، نتایج این مطالعه به مطالعات قبلی نزدیک بود (۹). با توجه به این مدول الاستیسیته ی کلی نیز سلول رفتار غیر خطی از خود نشان داد.

References

- Tsamis A, Bothe W, Kvitting JP, Swanson JC, Miller DC, Kuhl E. Active contraction of cardiac muscle: *in vivo* characterization of mechanical activation sequences in the beating heart. *J Mech Behav Biomed Mater* 2011; 4(7): 1167-76.
- Baohua Ji, Gang Bao. Cell and molecular biomechanics: perspectives and challenges. *ACTA MECH SOLIDA SIN* 2011; 24(1): 27-51.
- Davidson L, von DM, Zhou J. Multi-scale mechanics from molecules to morphogenesis. *Int J Biochem Cell Biol* 2009; 41(11): 2147-62.
- Kuznetsova TG, Starodubtseva MN, Yegorenkov NI, Chizhik SA, Zhdanov RI. Atomic force microscopy probing of cell elasticity. *Micron* 2007; 38(8): 824-33.
- Franz CM, Puech PH. Atomic Force Microscopy: A versatile tool for studying cell morphology, adhesion and mechanics. *Cell Mol Bioeng* 2008; 1(4): 289-300.
- Webb HK, Truong VK, Hasan J, Crawford RJ, Ivanova EP. Physico-mechanical characterisation of cells using atomic force microscopy-current research and methodologies. *J Microbiol Methods* 2011; 86(2): 131-9.
- Zhou ZL, Ngan AH, Tang B, Wang AX. Reliable measurement of elastic modulus of cells by nanoindentation in an atomic force microscope. *J Mech Behav Biomed Mater* 2012; 8: 134-42.
- Li QS, Lee GY, Ong CN, Lim CT. AFM indentation study of breast cancer cells. *Biochem Biophys Res Commun* 2008; 374(4): 609-13.
- Mathur AB, Collinsworth AM, Reichert WM, Kraus WE, Truskey GA. Endothelial, cardiac muscle and skeletal muscle exhibit different viscous and elastic properties as determined by atomic force microscopy. *J Biomech* 2001; 34(12): 1545-53.
- Lieber SC, Aubry N, Pain J, Diaz G, Kim SJ, Vatner SF. Aging increases stiffness of cardiac myocytes measured by atomic force microscopy nanoindentation. *Am J Physiol Heart Circ Physiol* 2004; 287(2): H645-H651.
- Rico F, Roca-Cusachs P, Gavara N, Farre R, Rotger M, Navajas D. Probing mechanical properties of living cells by atomic force microscopy with blunted pyramidal cantilever tips. *Phys Rev E Stat Nonlin Soft Matter Phys* 2005; 72(2 Pt 1): 021914.

Mechanical Behavior Obtaining of Cardiac Contracting Cell, Using Atomic Force Microscopy (AFM) and Analytical Relations

Anahita Ahmadi Soufivand MSc¹, Mehdi Navidbakhsh PhD², Masoud Soleimani³

Original Article

Abstract

Background: Cardiac contracting cells cause heart pumping motion by its contraction and any problem in this motion is related to these cells. In one approach, considering cardiac cell as a homogenous body with linear elastic properties, it can be analytically mechanically modeled. To obtain cell elastic modulus by existing analytical relations, experimental data are needed.

Methods: In this study, suitable experimental data were collected from mouse cardiac cells using atomic force microscopy (AFM). Then, by contact mechanics relations for this experimental method, elastic modulus were obtained and analyzed with two methods.

Findings: Using two methods, elastic moduli were 48.08 ± 2.26 and 55.67 ± 2.56 kPa. Variations of elastic modulus by indentation depth showed nonlinear elastic properties of these cells.

Conclusion: It can be concluded that via both of the presented methods, the same results for elastic modulus value for these contracting cells were obtained approximately. Also, it could be said that the linear Hertz's model is suitable for initial prediction of the cell mechanical properties and to more exact and general evaluate of these properties, it is better to apply nonlinear models.

Keywords: Cardiac contracting cell, Atomic force microscopy (AFM), Contact mechanics, Elastic modulus

Citation: Ahmadi Soufivand A, Navidbakhsh M, Soleimani M. Mechanical Behavior Obtaining of Cardiac Contracting Cell, Using Atomic Force Microscopy (AFM) and Analytical Relations. J Isfahan Med Sch 2014; 32(290): 947-56

1- Department of Biomechanics, School of Mechanical Engineering, Iran University of Science and Technology, Tehran, Iran
2- Associate Professor, Department of Biomechanics, School of Mechanical Engineering, Iran University of Science and Technology, Tehran, Iran

3- Associate Professor, Department of Hematology, School of Medical Sciences, Tarbiat Modares University, Tehran, Iran

Corresponding Author: Anahita Ahmadi Soufivand MSc, Email: anahita.a.soufivand@gmail.com